

## Η ΕΜΦΑΝΙΣΗ ΦΩΣΦΟΡΙΚΩΝ ΑΠΟΘΕΣΕΩΝ ΣΤΗ ΝΕΟΓΕΝΗ ΛΕΚΑΝΗ ΤΟΥ ΚΑΡΤΕΡΟΥ ΗΡΑΚΛΕΙΟΥ ΚΡΗΤΗΣ

Μ. Σταματάκης\* και Σ. Σκουνάκης\*

### ΣΥΝΟΨΗ

Στην Νεογενή λεκάνη του Καρτερού Ηρακλείου Κρήτης εντοπίσθηκαν για πρώτη φορά αποθέσεις φωσφορικών ορυκτών μέσα σε ψαμμιτομαργαριτάρια στρώματα που εναλλάσσονται με διατομίτες. Η δημιουργία των φωσφορικών υλικών θεωρείται ότι συνετελέσθη με απ' ευθείας καθίζηση φωσφορικών ορυκτών στην Πλειοκαίνική λεκάνη από υπέρκορα διαλύματα, καθώς επίσης και από αντικατάσταση κλαστικού ανθρακικού υλικού σε ένα πρώιμο διαγενετικό στάδιο.

### ABSTRACT

Phosphate minerals were determined in the Neogene basin of Karteros, Heraklion Crete. The phosphates form either spherical concretions or angular nodules hosted in marly sandstone that alternate with diatomite. The genesis of the phosphate materials is assumed to be a) a direct precipitation of phosphate minerals from a super-saturated phosphate solution, and b) the replacement of clastic calcareous material by phosphates in an early diagenetic stage.

### ΕΙΣΑΓΩΓΗ - INTRODUCTION

Οι φωσφορίτες είναι πετρώματα που αξιοποιούνται βιομηχανικά σε μεγάλη κλίμακα για την παραγωγή λιπασμάτων, προσθετικών στις βιομηχανίες πλαστικών, πυροπροστασίας, μικροβιοκτόνων, χημικών προϊόντων, κ.ά. (HARBEN & BATES 1990, HARBEN 1991). Τα κυριότερα ορυκτά που εκμεταλλεύονται βιομηχανικά είναι ο υδροξυ-φθοραπατίτης  $\text{Ca}(\text{PO}_4)_3(\text{OH}, \text{F})$ , ο φθοραπατίτης  $(\text{Ca}_5(\text{PO}_4)_3\text{CO}_3, \text{OH})_3(\text{F}, \text{OH})$  και ο βαθελλίτης  $\text{Al}_3(\text{PO}_4)_2(\text{OH})_3 \cdot 5\text{H}_2\text{O}$  (HARBEN 1991).

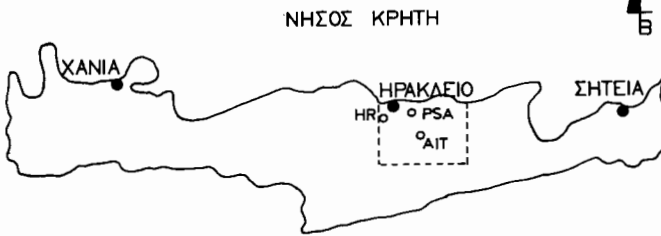
Εμφανίσεις φωσφορικών αλάτων στον Ελλαδικό χώρο είναι γνωστές κυρίως σε Μεσοζωικά ιζήματα (ΠΕΡΤΕΣΗΣ & ΜΑΡΙΝΟΣ 1959, ΒΡΑΧΑΜΗΣ 1962, ΚΑΛΠΑΚΗΣ 1979, ΣΚΟΥΝΑΚΗΣ 1979, ΡΟΜΟΝΙ-ΠΑΡΑΙΟΑΝΝΟΥ & SOLAKIOYS 1991). Η μοναδική έως τώρα γνωστή αξιόλογη εμφάνιση φωσφοριτών σε Νεογενή ιζήματα του ελλαδικού χώρου έχει περιγραφεί στην δυτική Κεφαλονιά, μέσα σε ασβεστο-μαργαριτάρια ιζήματα που ανήκουν στην γεωτεκτονική ζώνη Παξών (ΣΚΟΥΝΑΚΗΣ 1978 & 1979).

Η παρούσα εργασία έχει σαν σκοπό α) την μελέτη των εμφανίσεων φωσφορικών αποθέσεων από την περιοχή Καρτερού Ηρακλείου Κρήτης οι οποίες ανακαλύφθηκαν πρόσφατα σε ιζήματα Πλειοκαίνικής ηλικίας, και β) να θέσει τις βάσεις για την μελέτη σχηματισμών που μπορούν να φιλοξενούν ανάλογες συγκεντρώσεις φωσφορικών ορυκτών.

### ΓΕΩΛΟΓΙΚΗ ΤΟΠΟΘΕΤΗΣΗ - GEOLOGICAL SETTING

Το προ-Νεογενές υπόβαθρο της ηήσου Κρήτης αποτελείται από φυλλίτες Περμο-

\* Εθνικό και Καποδιστριακό Πανεπιστήμιο Αθηνών, Τμήμα Γεωλογίας, Πανεπιστημιούπολης, Άνω Ιλίσσια, 157 84, Αθήνα



**[ ] ΠΕΡΙΟΧΗ ΜΕΛΕΤΗΣ  
ο ΘΕΣΕΙΣ ΔΕΙΓΜΑΤΟΛΗΨΙΑΣ**

**Φωτ. 1:** Η περιοχή ερεύνης και οι θέσεις δειγματοληψίας των υπό μελέτην πετρώματων.

**Fig. 1:** Studied area and sampling sites in Karteros basin, Heraklion, Crete.

τομίτες, γύψοι και λιγνιτικά στρώματα (GEORGIADOU-DIKEOULIA 1979, FRYDAS 1986, STAMATAKIS & VLACHOU-TSIPOURA 1990, STAMATAKIS et al. 1991).

Στην περιοχή της λεκάνης Καρτερού, ανατολικά-νοτιοανατολικά του Ηρακλείου (Φωτ. 1), εντοπίσθηκαν σφαιρώματα και ασύμμετροι κόνδυλοι φωσφοριτών μέσα σε ψαμμιτομάργες, υλικά που εξετάζονται στην συνέχεια.

**ΑΝΑΛΥΤΙΚΕΣ ΤΕΧΝΙΚΕΣ - ANALYTICAL TECHNIQUES**

Για την μελέτη των φωσφορούχων κονδύλων, καθώς και των πετρωμάτων που τα φιλοξενούν, πραγματοποιήθηκαν στο Γεωλογικό Τμήμα του Πανεπιστημίου Αθηνών και το χημείο της τοιμεντοβιομηχανίας TITAN (Καμάρι Βοιωτίας), υγροχημικές

**Πίν. 1:** XRD Αναλύσεις νεογενών πετρωμάτων της λεκάνης Ηρακλείου Κρήτης

<b>1. ΔΙΑΤΟΜΙΤΙΚΑ ΠΕΤΡΩΜΑΤΑ</b>	
PSA10	O-A, CC, QTZ, HUN, ILL, CHL
PSA20	O-A, QTZ, CC, ILL
PSA4	O-A, CC, QTZ, SM, ILL, AB
PSA9	O-A, QTZ, CC, HUN, DOL, ILL
HR10	O-A, CC, QTZ, DOL, ILL, HUN
HR20	O-A, QTZ, CC, DOL, ILL, SM
AIT1	CC, QTZ, O-A, SM, AB, ILL
AIT2	O-A, CC, QTZ, ILL, SM
AIT3	O-A, QTZ, CC, ILL
<b>2. ΨΑΜΜΙΤΟΜΑΡΓΕΣ</b>	
PSA15	QTZ, CC, AB, ILL, CHL
PSA19	QTZ, CC, DOL, CHL, ILL, AB
PSA25	QTZ, CC, DOL, CHL, ILL
<b>3. ΗΦΑΙΣΤΕΙΑΚΗ ΤΕΦΡΑ</b>	
PSA10A	QTZ, VGS, KF, MC
<b>4. ΦΩΣΦΟΡΙΤΕΣ</b>	
PSA19A	QTZ, CA, CC
PSA19B	CA, QTZ, CC
PSA19C	CA, QTZ, CC

ΕΠΕΞΗΓΗΣΕΙΣ: O-A=ΟΠΑΛΙΟΣ, QTZ=ΧΑΛΑΖΙΑΣ, CC=ΑΣΒΕΣΤΙΤΗΣ, DOL=ΔΟΛΟΜΙΤΗΣ, HUN=ΧΟΥΝΤΙΤΗΣ, ILL=ΙΛΛΙΤΗΣ, SM=ΣΜΕΚΤΙΤΗΣ, CHL=ΧΛΩΡΙΤΗΣ, AB=ΑΛΒΙΤΗΣ, KF=Κ-ΑΣΤΡΙΟΣ, VGS=ΗΦΑΙΣΤΕΙΑΚΗ ΥΕΛΟΣ, FE=HYOX=ΥΔΡΟΞΕΙΔΙΑ ΣΙΔΗΡΟΥ, CA=ΑΝΘΡΑΚΙΚΟΣ ΑΠΑΤΙΤΗΣ.

Ψηφιακή Βιβλιοθήκη "Θεόφραστος" - Τμήμα Γεωλογίας. Α.Π.Θ.

**Πίν. 2:** Χημικές αναλύσεις κύριων στοιχείων σε δείγματα της λεκάνης Ηρακλείου Κρήτης

	PSA10	PSA10A	PSA15	PSA19	PSA19A	PSA19B	PSA19C	PSA20	PSA25	HR10	HR20
SiO <sub>2</sub>	60,24	53,54	41,09	43,15	53,31	15,93	14,68	69,09	27,70	62,13	60,42
TiO <sub>2</sub>	0,32	0,34	0,20	0,38	ND	ND	ND	0,20	0,32	0,21	0,29
Al <sub>2</sub> O <sub>3</sub>	5,62	16,61	3,21	6,16	0,86	2,65	2,62	3,64	5,42	3,64	5,21
Fe <sub>2</sub> O <sub>3</sub>	2,81	2,34	2,04	3,77	0,55	3,84	3,55	1,71	2,79	1,77	2,74
MgO	2,15	0,69	1,38	2,73	3,22	1,67	1,78	1,03	5,40	1,53	2,70
CaO	12,38	1,85	13,26	19,95	5,23	25,44	23,67	10,92	27,00	11,80	9,11
Na <sub>2</sub> O	1,33	3,87	1,25	1,40	8,28	0,95	1,16	0,47	0,61	2,43	1,66
K <sub>2</sub> O	0,86	4,86	0,62	0,93	0,20	0,58	0,68	0,58	0,88	0,56	0,79
P <sub>2</sub> O <sub>5</sub>	0,14	0,19	0,09	0,12	10,95	27,67	31,00	0,12	0,18	0,15	0,08
SO <sub>3</sub>	0,05	0,11	0,14	0,11	0,21	0,42	0,96	0,06	0,16	0,07	0,13
LOI	14,12	15,26	36,50	21,26	17,10	20,65	19,78	11,90	29,74	15,86	17,48
F	ND	ND	ND	ND	0,33	1,86	1,88	ND	ND	ND	ND
CL	ND	ND	ND	ND	0,20	0,06	0,17	ND	ND	ND	ND
TOTAL	100,02	99,66	99,78	99,96	99,91	99,80	99,88	99,72	100,20	100,15	100,61

#### ΕΠΕΞΗΓΗΣΕΙΣ:

ΔΙΑΤΟΜΙΤΙΚΑ ΠΕΤΡΩΑΜΤΑ: PSA10, PSA20, HR10, HR20

ΨΑΜΜΙΤΟΜΑΡΓΕΣ: PSA15, PSA19, PSA25

ΗΦΑΙΣΤΕΙΑΚΗ ΤΕΦΡΑ: PSA10A

ΦΩΣΦΟΡΙΤΕΣ: PSA19A, PSA19B, PSA19C

ND: ΜΗ ΑΝΙΧΝΕΥΣΙΜΑ

αναλύσεις, και ακόμη αναλύσεις με περιθλασίμετρο ακτίνων X, πολωτικό μικροσκόπιο, και ηλεκτρονικό μικροαναλυτή. Τα αποτελέσματα δίδονται στους πίνακες 1 & 2.

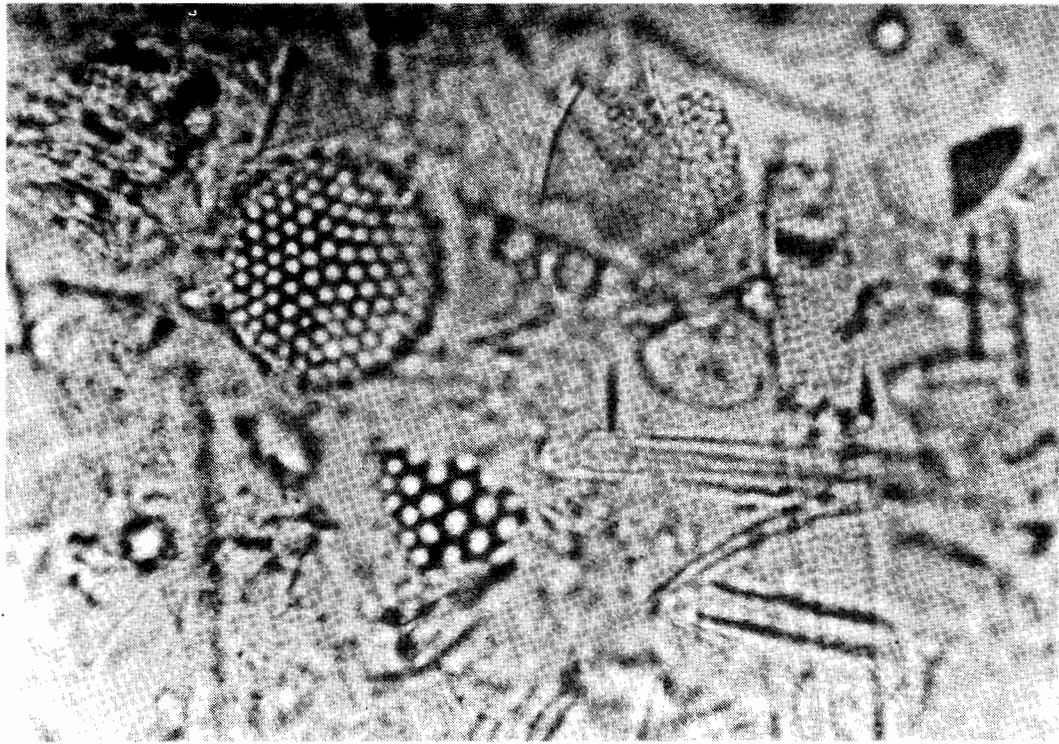
#### ΤΡΟΠΟΙ ΕΜΦΑΝΙΣΗΣ ΚΑΙ ΟΡΥΚΤΟΛΟΓΙΑ ΤΩΝ ΦΩΣΦΟΡΙΚΩΝ ΥΛΙΚΩΝ ΚΑΙ ΤΩΝ ΠΕΤΡΩΑΜΤΩΝ ΠΟΥ ΣΧΕΤΙΖΟΝΤΑΙ

#### MINERALOGY AND MODE OF OCCURRENCES OF THE PHOSPHATIC MATERIAL AND RELATED ROCKS

Τα φωσφορούχα υλικά της περιοχής Καρτερού Ηρακλείου συναντώνται μέσα σε ψαμμιτομαργαρικά στρώματα πάχους περίπου 2 μέτρων, τα οποία συχνά εναλλάσσονται με διατομίτες του ιδίου πάχους. Οι διατομίτες του Ηρακλείου είναι πλούσιοι σε βιογενές πυρίτιο που συναντάται με την μορφή βελονών σπόργων, κελυφών διατόμων και ραδιολαρίων και σκελετών πυριτιομαστιγωτών (Φωτ. 2). Ορυκτολογικά το βιογενές πυρίτιο αποτελείται από οπάλιο-Α. Τα ψαμμιτομαργαρικά στρώματα που φιλοξενούν τα φωσφορικά συγκρίματα έχουν καφε-καστανό χρώμα και αποτελούνται από χαλαζία, ασβεστίτη, σιδηρούχο δολομίτη, σμεκτίτη και μικρά ποσά ιλλίτη και αστρίων.

Τα φωσφορούχα υλικά φιλοξενούνται κατά κανόνα με την μορφή ακανονίστων μαζών ή συγκριμμάτων μέσα στις ψαμμιτομάργες, και εντοπίσθηκαν στα δύο πρανή του λόφου Πρασσά, 7 χλμ. περίπου ανατολικά από το Ηράκλειο, καθώς και σε παρακείμενες τομές της νέας εθνικής οδού Ηρακλείου-Αγ. Νικολάου (Φωτ. 3 & 4).

Συναντώνται παράλληλα με την γενική στρώση του ψαμμιτικού υλικού, αλλά και σε τυχαία διευθέτηση. Τα υλικά αυτά έχουν σκούρα καφέ έως καστανοκίτρινο χρώμα και σπανίως ανοικτό γκρί. Η ορυκτολογική σύσταση των φωσφορικών υλικών είναι: ανθρακικός απατίτης, υδροξυ-φθοραπατίτης, χαλαζίας και ασβεστίτης, σε κυματινόμενες αναλογίες (Πίνακας 1). Ιχνη γύψου και αλίτη εντοπίσθηκαν σε ορισμένα δείγματα. Πράσινος ή και μαύρος γλαυκονίτης συναντήθηκε σε λεπτά υμένια να περιβάλλει κλαστικά τεμάχια ασβεστολίθου που ευρίσκονται διεσπαρμένα μέσα σε ψαμμιτομάργες, στην τομή της εθνικής οδού, 2 χλμ.



**Φωτ. 2:** Δισκοειδή και επιμήκη κελύφη διατόμων από τους διατομίτες της λεκάνης Καρτερού Ηρακλείου, θέση PSA (Μεγέθυνση X 750).

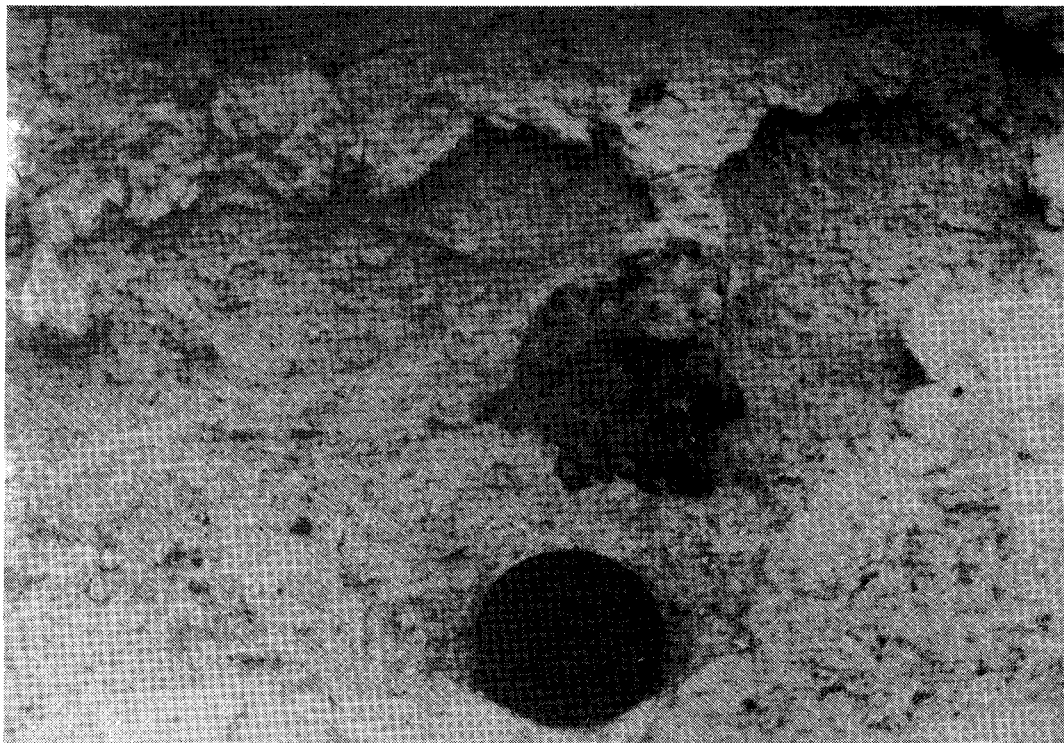
**Fig. 2:** Disk-shaped and thread-like diatoms from Karteros basin diatomite's, site PSA (Magnification X 750).

ανατολικά από τον λόφο Πρασσά. Επίσης, σε μικρο-ρωγματώσεις των φωσφορικών κονδύλων παρατηρούνται επιχρίσματα οξειδίων και υδροξειδίων του σιδήρου και του μαγγανίου.

Τα φωσφορούχα αυτά υλικά μπορούν να διακριθούν σε δύο κατηγορίες: α) μικροί στιφροί, νεφροειδείς κόνδυλοι με λεία εξωτερική επιφάνεια και διάμετρο έως 5 εκατοστά, και β) μεγαλύτεροι, ασύμμετροι πεπλατυσμένοι κόνδυλοι πλάτους έως 20 εκατοστών, των οποίων η εξωτερική επιφάνεια είναι ανώμαλη και διάτρητη. Συνήθως οι μικροί κόνδυλοι αποτελούνται από κύρια μάζα υδροξυφθοραπατίτη και είναι πτωχοί σε κλαστικά ορυκτά, τα οποία αντιπροσωπεύονται από χαλαζία. Καθώς οι μικροί κόνδυλοι περιέχουν λιγότερα ή σχεδόν καθόλου κλαστικά υλικά, (δείγματα PSA 19B & PSA 19C) παρουσιάζονται πλουσιώτεροι σε περιεκτικότητες φωσφόρου και φθορίου σε σχέση με τους μεγαλύτερους κονδύλους (δείγμα PSA 19A) (Πιν. 2), γεγονός που έχει παρατηρηθεί και σε παρόμοιες φωσφορικές αποθέσεις στη Νέα Ζηλανδία (CULLEN 1980).

Οι μεγάλοι κόνδυλοι φωσφοριτών από το Ηράκλειο περιέχουν τεμάχια διαφόρων μεγεθών μη διαφοροποιημένου ασβεστολιθικού υλικού στο εσωτερικό τους το οποίο απλώς περιβάλλεται από φωσφορούχο μανδύα πάχους μερικών εκατοστών (Φωτ. 5). Στο ασβεστολιθικό υλικό, το οποίο είναι μικριτικός και σπαριτικός ασβεστόλιθος, παρατηρείται σταδιακή, περιφερειακή αντικατάσταση του ασβεστίτη από φωσφορικό υλικό που είναι βιο-μικριτικό (Φωτ. 6).

Αξιοσημείωτο είναι ότι σχεδόν όλα τα παραπάνω συγκρίματα και κόνδυλοι



Φωτ. 3: Ασύμμετρος κόνδυλος φωσφορίτη φιλοξενείται μέσα σε ψαμμιτομάργα, θέση PSA.  
Fig. 3: Asymmetric phosphate nodule hosted into sandy marlstone, site PSA.

εμφανίζουν οπές (micro-burrowings) λόγω της έντονης βιολογικής δράσης οργανισμών και ιδίως πελεκυπόδων και είναι πλούσιοι σε κοράλια, γαστερόποδα, τρηματοφόρα, εχινόδερμα και πελοειδή (Φωτ. 7).

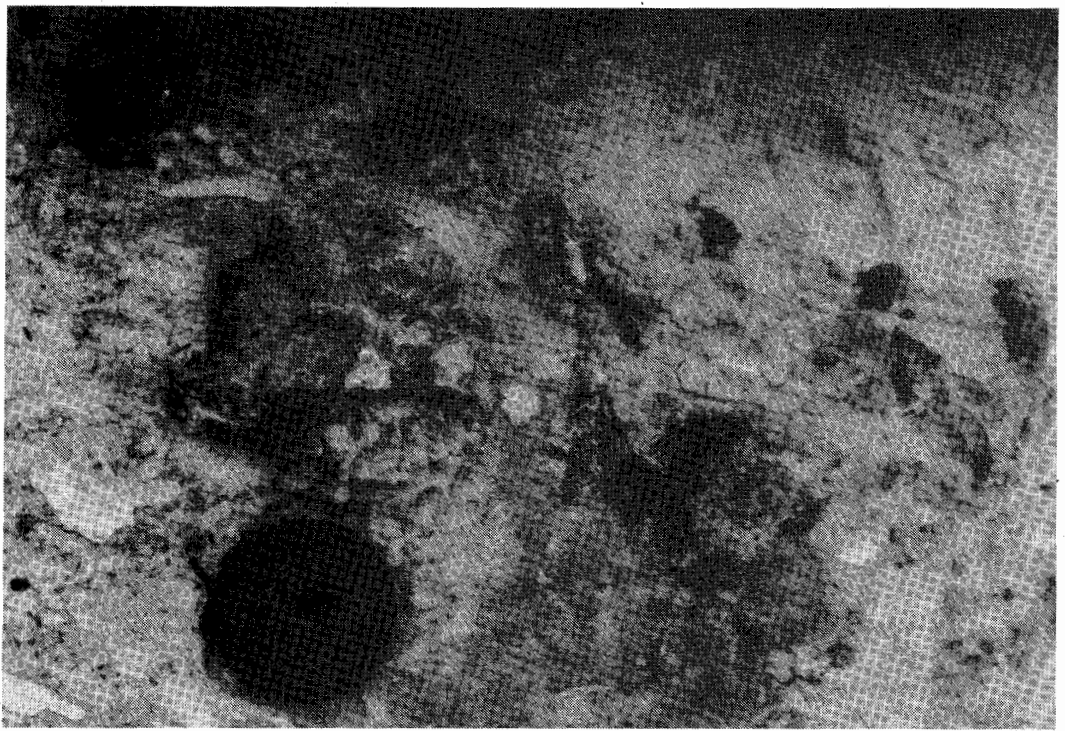
Η μικροσκοπική μελέτη των συγκριμάτων έδειξε ότι το φωσφορικό υλικό έχει αντικαταστήσει το υλικό πελοειδών (κοπρολίθων), κοραλλίων, εχινοδέρμων, καθώς και το ανθρακικό κέλυφος μερικών τρηματοφόρων. Φωσφορικό υλικό συναντάται επίσης να γεμίζει το εσωτερικό τρηματοφόρων, ενώ αντίθετα κελύφη ραδιολαρίων, και γαστεροπόδων ή διθύρων σπανιώτατα παρουσιάζουν μια ασθενή αντικατάσταση του πυριτικού και ανθρακικού τους κελύφους αντίστοιχα.

Παρόμοιες δομές έχουν παρατηρηθεί σε φωσφορίτες που έχουν εντοπισθεί υποθαλάσσια ανατολικά από την Νέα Ζηλανδία, την Βόρεια Καρολίνα και την δυτική Αφρική (BIRCH 1980, CULLEN 1980, MANHEIM et al. 1980, VON RAD & KUDRASS 1984).

#### ΓΕΝΕΣΗ ΤΩΝ ΦΩΣΦΟΡΙΚΩΝ ΥΛΙΚΩΝ - GENESIS OF THE PHOSPHATIC MATERIALS

Στην περιοχή της λεκάνης Καρτερού Ηρακλείου αναπτύσσονται βιογενή και κλαστικά ιζήματα του Νεογενούς (GEORGIADOU-DIKEOULIA 1979, STAMATAKIS et al. 1991). Τα βιογενή ιζήματα αντιρροσεύονται από διατομιτικά στρώματα και ασβεστόλιθους πλούσιους σε τρηματοφόρα. Τα κλαστικά πετρώματα αντιρροσεύονται από κροκαλοπαγή που συναντώνται στην βάση της Νεογενούς σειράς και περιέχουν ασβεστολιθικές κροκάλες, καθώς και από ψαμμιτομάργες που παρεμβάλλονται μέσα στους διατομιτικούς ορίζοντες. Οι ψαμμιτομάργες είναι

Ψηφιακή Βιβλιοθήκη "Θεόφραστος" - Τμήμα Γεωλογίας, Α.Π.Θ.



**Φωτ. 4:** Ασύμμετροι κόνδυλοι φωσφοριτών καλύπτονται μερικώς από κελύφη του διθύρου OSTREA, θέση PSA.

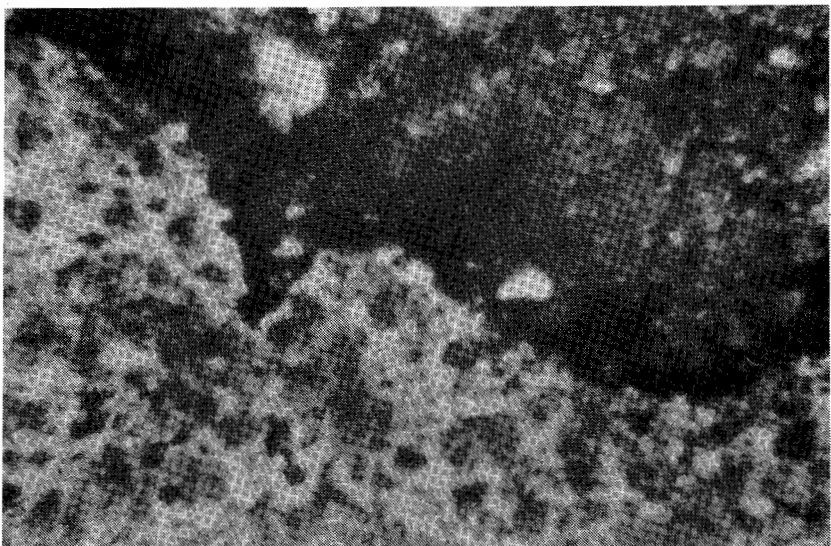
**Fig. 4:** Asymmetric phosphate nodules are partially covered by shells of the bivalve OSTREA, site PSA.

κατά θέσεις πλούσιες σε μακρο-απολιθώματα (δίθυρα και γαστερόποδα) που προσδιορίζουν περιβάλλον απόθεσης αβαθούς θαλάσσης (GEORGIADOU-DIKEOULIA 1979).

Ενώ στις περισσότερες θέσεις οι ψαμμίτες εμφανίζονται ομογενείς και λεπτοκοκκώδεις, μερικά στρώματά τους περιέχουν γωνιώδεις ή αποστρογγυλευμένες κροκάλες γαλακτόχρωμου χαλαζίτη, ασβεστόλιθου, η μάργαρις, καθώς και σφαίροειδής ή ανώμαλους φωσφορικούς κονδύλους. Μερικές φορές, τα ανθρακικά θραύσματα έχουν σχεδόν πλήρως επικαλυφθεί και εν μέρει αντικατασταθεί από φωσφορικό υλικό με σύσταση ανθρακικού απατίτη και υδροξυ-φθοραπατίτη. Το σύγκριμα που προκύπτει έχει συνήθως ανώμαλη εξωτερική επιφάνεια με εγκολπώσεις, έχει καφεμαύρο ή γκρι-κίτρινο χρώμα και καλύπτεται από κελύφη διθύρων μαλακίων, κυρίως του είδους OSTREA (Φωτ. 4).

Η παρουσία στην άνω επιφάνεια των φωσφορικών κονδύλων κελυφών ελασματοβραχίων, είναι ένδειξη ότι το ανθρακικό υλικό παρέμεινε και φωσφατοποιηθήκε στον πυθμένα πολύ αβαθούς λεκάνης, με ταυτόχρονη διακοπή της ιζηματογένεσης. Επομένως, η γένεση αυτού του τύπου φωσφορίτη οφείλεται σε διεργασίες αντικατάστασης. Αντίθετα, οι συμπαγείς μικροί κόνδυλοι μπορεί να θεωρηθεί ότι αντιπροσωπεύουν απ' ευθείας απόθεση αυθιγενούς φωσφορίτη.

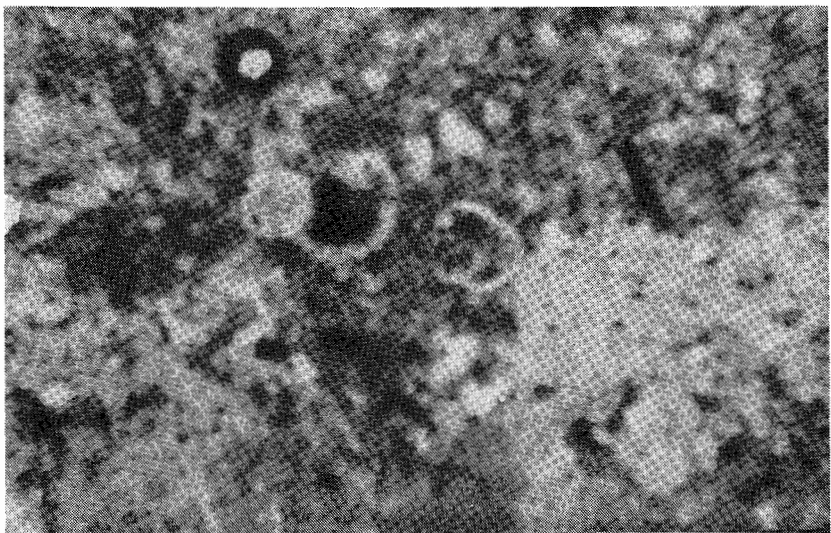
Συνήθως η απόθεση φωσφοριτών λαμβάνει χώρα σε περιβάλλοντα μικρότερου βάθους, από ότι οι διατομίτες (SHELDON 1987, CRONAN 1992) ότι σε μιά λεκάνη που προσφέρονται θρεπτικά συστατικά από ανερχόμενα ρεύματα, κατά την διάρκεια περιόδων απόσυρσης της θάλασσας σχηματίζονται φωσφορίτες, ενώ κατά την διάρκεια της επίκλυσης έχομε διαγενετικές



Φωτ. 5: Λεπτομέρεια από ένα σκοτεινόχρωμο μανδύα φωσφορικών ορυκτών που καλύπτει ένα ανοικτόχρωμο κλαστικό ανθρακικό πυρήνα από την θέση PSA. Μεγέθυνση X 150.

Fig. 5: Detail of dark-coloured phosphates that surround a light-coloured detrital calcareous fragment (right down), site PSA. Magnification X 150.

λεκάνη (STAMATAKIS et al. 1991). Με την είσοδο κλαστικών υλικών από την ξηρά, πιθανόν κατά την διάρκεια καταιγίδων, στην λεκάνη όπου πραγματοποιείτο ιζηματογένεση διατομιτών, το pH, η διάυγεια του νερού και το βάθος της λεκάνης μίκραινε, με αποτέλεσμα την διακοπή ιζηματογένεσης διατομιτών και την απόθεση ψαμμιτών και κροκαλοπαγών. Η διακύμανση της στάθμης της λεκάνης συνεχίσθηκε μέσα στο Πλειόκαινο, όπως μαρτυρούν οι αλεπάλληλες αποθέσεις διατομιτών-ψαμμιτομαργών.



Φωτ. 6: Σκοτεινόχρωμος φωσφορύχος βιο-μικρίτης εγκλείει και αντικαθιστά ανοικτόχρωμο σπαριτικό ασβεστίτη, θέση PSA. Μεγέθυνση X 150.

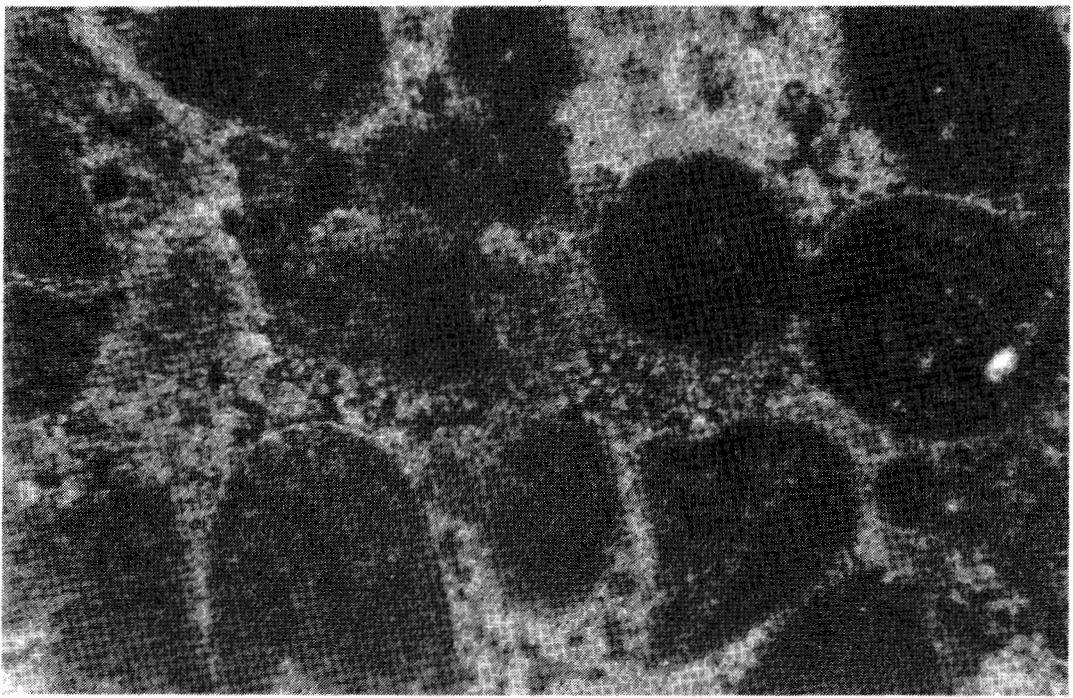
Fig. 6: Dark coloured phosphatic biomicrite surrounded sparitic calcite, site PSA. Magnification X 150.

Ψηφιακή Βιβλιοθήκη "Θεόφραστος" - Τμήμα Γεωλογίας. Α.Π.Θ.

διεργασίες στις φωσφορικές αποθέσεις και στην συνέχεια απόθεση διατομιτών.

Η αλεπάλληλη απόθεση διατομιτικών και ψαμμιτικών στρωμάτων στην λεκάνη του Καρτερού Ήρακλείου φανερώνει μια συχνή μεταβολή της στάθμης του νερού της λεκάνης. Οι μεταβολές της στάθμης ήταν απότομες, όπως προκύπτει από την απότομη μεταβολή του είδους της ιζηματογένεσης στην

Τα Νεογενή θαλάσσια πετρώματα από την περιοχή Καρτερού Ήρακλείου είναι πλούσια σε ασβεστικό και



**Φωτ. 7:** Πελοειδή που έχουν αντικατασταθεί από φωσφορικό υλικό, θέση PSA. Μεγέθυνση X 185.

**Fig. 7:** Peloids replaced by phosphates, site PSA. Magnification X 185.

πυριτικό βιογενές υλικό, επομένως μπορούμε να υποθέσουμε έντονη προσφορά διαλυμάτων πλούσιων σε  $H_3SiO_4^+$ ,  $Ca^{2+}$ ,  $NO_3^-$  και  $H_2PO_4^{2-}$ . Τα διαλύματα αυτά ήταν υπεύθυνα για την εμφάνιση αφθόνων πυριτικών και ανθρακικών οργανισμών στην λεκάνη. Μετά το θάνατο τους αυτοί οι οργανισμοί έδωσαν αφ' ενός τους πλούσιους σε άμορφο πυρίτιο διατομιτικούς ορίζοντες, και αφ' ετέρου διαλύματα πλούσια σε συστατικά που προήλθαν από την αποσύνθεση των οργανισμών λόγω βακτηριακής δράσης, μεταξύ των οποίων και φωσφόρο.

Τα φωσφορικά υλικά της περιοχής Ηρακλείου ευρίσκονται μεταξύ διατομιτικών στρωμάτων, γεγονός που πιθανόν φανερώνει γενετική σχέση διατομιτών και φωσφοριτών σχέση που έχει πιστοποιηθεί σε διάφορες φωσφορικές αποθέσεις (CHENNEY et al. 1979, SHELDON 1987). Η παρουσία μερικών διαφοροποιημένου ανθρακικού υλικού μέσα στα φωσφορικά συγκρίματα είναι ένδειξη σχηματισμού των φωσφορικών σε αντικατάσταση προϋπάρχοντος ανθρακικού υλικού (KOLODNY 1980, MANHEIM et al. 1980). Οταν το βάθος της λεκάνης ελαττούται, σταματά η απόθεση διατομιτών και εφ' όσον υπάρχουν θρεπτικά συστατικά πλούσια σε φωσφόρο, αυτά συμπαγοποιούνται και σχηματίζουν ουθιγενείς συγκεντρώσεις φωσφοριτών που υπέρκεινται των διατομιτικών στρωμάτων που αποτέθηκαν ενωρίτερα.

Επομένως, τα συμπαγή και ομογενή σφαιροειδή ή νεφροειδή συγκρίματα του Καρτερού, φαίνεται ότι αντιπροσωπεύουν απ' ευθείας απόθεση φωσφορικών κονδύλων από νερά των πόρων, ή και μορφές αντικατάστασης κοπρολίθων (MANHEIM et al. 1980). Τα ιόντα φωσφόρου θα πρέπει να παρέμεναν στο διάλυμα μέχρις ότου το βάθος της λεκάνης ελαττώθηκε σημαντικά, με αποτέλεσμα να αυξηθή το pH και η συγκέντρωσή των διαλυμένων ιόντων φωσφόρου, οπότε καθίζησαν απ' ευθείας από

υπέρκορα διαλύματα με την μορφή φωσφορικών ορυκτών, ή αντικατέστησαν προουπάρχον κλαστικό υλικό.

Και οι δύο διαδικασίες σχηματισμού φωσφοριτών, α) με απ' ευθείας απόθεση και β) από αντικατάσταση ανθρακικού υλικού σε ένα πρώιμο διαγενετικό στάδιο έχουν παρατηρηθεί στις περισσότερες αποθέσεις φωσφορικών ορυκτών σε θαλάσσιο περιβάλλον (BIRCH 1980, CULLEN 1980, JARVIS 1980, MANHEIM et al. 1980, KOLODNY 1980). Η απόθεση φωσφοριτών μπορεί να πραγματοποιηθεί και με την μορφή κροκαλοπαγών στον πυθμένα αβαθής, λόγω της δράσης ρευμάτων που συγκεντρώνουν τα συγκρίμματα σε ορισμένους ορίζοντες (BJORLYKE 1989). Η παρουσία των φωσφορικών κονδύλων, μαζί με πολύμεικτες κροκάλες, χωρίς κανένα προσανατολισμό είναι ένδειξη πιθανής παρόμοιας διεργασίας στην περιοχή Καρτερού. Η παρουσία μη αφομοιωμένων ανθρακικών κονδύλων, και η παρουσία λεπτών υμενίων γλαυκονίτη σε ορισμένα μαργαριτάρια θραύσματα, είναι ένδειξη πρώιμης και ατελούς φωσφατοποίησης στην περιοχή. Η πρώιμη και ατελής αυτή φωσφατοποίηση δεν επηρέασε τους κλαστικούς ορίζοντες σε όλη την έκταση της λεκάνης τους Καρτερού, δύος συμπεραίνεται από παρατηρήσεις υπαίθρου.

Η μικρότερη ηλικία για τον σχηματισμό των φωσφορικών συγκριμάτων είναι το Κατώτερο Πλειόκαινο, αφού φιλοξενούνται σε ιζήματα αυτής της ηλικίας. Ο χρόνος σχηματισμού αυτών των συγκριμάτων ήταν πολύ σύντομος και περιορίσθηκε σε μερικά απλά επεισόδια διάβρωσης και φωσφατοποίησης μέσα στο Πλειόκαινο, δύος συμπεραίνεται από την όχι άφθονη παρουσία φωσφορικών υλικών, τουλάχιστον σε επιφανειακές τομές των Πλειοκανικών ορίζοντων.

Ο πρόσφατος εντοπισμός φωσφορικών κονδύλων σε θαλάσσια αβαθή Νεογενή ιζήματα της περιοχής Ηρακλείου, σε συνδυασμό με παρόμοιες βιογενείς ανθρακικές και πυριτικές αποθέσεις στην Κεφαλλονιά (Σκουνάκης 1978 & 1979), οδηγεί στο συμπέρασμα ότι απαιτείται συστηματική μελέτη και ακριβής προσδιορισμός του περιβάλλοντος απόθεσης διαφόρων παράκτιων-αβαθών Νεογενών λεκανών σε όλο τον ελλαδικό χώρο, με σκοπό τον εντοπισμό φωσφορικών ορυκτών παρόμοιας γένεσης. Η παρουσία και αλληλεξάρτηση πυριτικού και ανθρακικού βιογενούς υλικού και ο σχηματισμός φωσφορικών ορυκτών είναι και στις δύο περιπτώσεις εμφανής. Εν τούτοις, τα Μειοκανικά βιογενή πυριτικά ιζήματα της Κεφαλλονιάς που θεωρούνται μητρικά υλικά του σχηματισμού των φωσφοριτών της περιοχής έχουν μετατραπεί διαγενετικά σε οπάλιο-CT, χαλκηδόνιο και ζεολίθους, στο Ηράκλειο τα αντίστοιχα πυριτικά κελύφη, τα οποία όμως είναι νεώτερα (Πλειόκαινο), σπανίως παρουσιάζουν φαινόμενα διάλυσης και αντικατάστασης.

Επομένως η έρευνα για την ύπαρξη φωσφορικών ορυκτών πρέπει να περιλαμβάνει και τα θαλάσσια πυριτικά ιζήματα που έχουν μετατραπεί διαγενετικά σε πορσελανίτες ή και πυριτόλιθους.

#### ΕΥΧΑΡΙΣΤΙΕΣ - ACKNOWLEDGMENTS

Για την κριτική ανάγνωση της εργασίας και τις εύστοχες παρατηρήσεις, εκφράζονται θερμές ευχαριστίες στον Καθηγητή κ. Εμμ. Μπαλταζή.

#### ΒΙΒΛΙΟΓΡΑΦΙΑ - REFERENCES

- BIRCH, G.F. (1980). A model of penecontemporaneous phosphatization by diagenetic and authigenic mechanism from the western margin of south Africa. - SEPM Special Publication, Michigan USA, no 29, 79 - 100,
- BJORLYKKE, K. (1989). Sedimentology and Petroleum Geology. Springer - Verlag, Berlin Heidelberg, 1 - 356.
- ΒΡΑΧΑΜΗΣ, Κ. (1962). Τα κοιτάσματα ουρανοβαναδιούχων φωσφοριτών του Κιθαιρώνος. Δημ. Χρη. Εργ. Δρ. Βραχάμη, 1 - 17.
- CHENNEY, T.M., McCHELLAN, G.H., MONTGOMERY, E.S. (1979). Sechura phosphate deposits, their stratigraphy, origin and composition. - Econ. Geology, 74, 232 - 239.
- CRONAN, D. (1992). Phosphates. - In D. CRONAN (ed.). Marine Minerals in Ψηφιακή Βιβλιοθήκη "Θεόφραστος" - Τμήμα Γεωλογίας. Α.Π.Θ.

- exclusive economic zones, Chapman & Hall, London, 67 - 82.
- CULLEN, D.J. (1980). Distribution, composition and age of submarine phosphorites on Chatam Rise, east of New Zealand. - SEPM Special Publication, Michigan, USA, no 29, 139 - 148.
- GEORGIADOU - DICEOULIA, E. (1979). Paleoenvironmental observations based on the microfauna of Pliocene section Prassa Crete. - Annal. Geol. des Pays Hellen., Tome Hors Serie, 1979, Fasc. 1, 439 - 447.
- FRYDAS, D. (1986). Phytoplankton from Neogene depositions of Crete, Greece. Bull. Geol. Soc. Greece, 20/2, 113 - 128.
- ΦΥΤΡΟΛΑΚΗΣ, Ν. (1978). Συμβολή στην Γεωλογική έρευνα της Κρήτης. - Δελτ. Ελλ. Γεωλ. Εταιρείας, 13/2 101 - 115.
- HARBEN, P.W. and BATES, R.L. (1990). Industrial Minerals - Geology an World Deposits, Metal Bulletin PLC Edition, London.
- HARBEN, P.W. (1991). The Industrial Minerals Handybook. Metal Bulletin PLC Edition, London, 63 - 64.
- JARVIS, I. (1980). The initiation of phosphatic chalk sedimentation - The Senonian (Cretaceous) of the Anglo - Paris basin. - SEPM Special Publication, Michigan USA, no 29, 167 - 192.
- ΚΑΛΠΑΚΗΣ, Γ. (1979). Συμβολή εις την γνώσιν της ιζηματολογίας των βιομικροτικών στραμωτολίθων και οριζόντων Hard Grounds της ζώνης Παρνασσού - Γκιώνας, εις το όριον Άνω Κρητιδικού - Τριτογενούς. - Διδ. Διατριβή, Αθήνα, 1 - 129.
- KARAKITSIOS, V. (1989). La deformation Alpine de la serie de Tripolitza (s.1) en Peloponnese et en Crete (Greece) et son interpretation dynamique.- annal. Geol des Pays Hellen., 34/1, 21-30.
- KOLODNY, Y. (1980). The origin of phosphorite deposits in the light of occurrences of recent sea-floor phosphorites.- SEPM Special Publication, Michigan USA, no 29, 249.
- MANHEIM, F.T., PRATT, R.M. and MCFARLIN, P.F. (1980). Composition and origin of phosphorite deposits of the Blake Plateau. - SEPM Special Publication, Michigan USA, no 29, 117-137.
- MEULENKAMP, J.E. (1979). Field guide to the Neogene of Crete, Athens Univ. Publication, Symeonidis et al. eds., 22.
- ΠΕΕΡΤΕΣΗΣ, Μ. και ΜΑΡΙΝΟΣ, Γ. (1959). Το κοίτασμα απατίου εις Πάρνωνα Πελοποννήσου. - ΙΓΕΥ, Γεωλογικά και Γεωφυσικά Μελέται, 5/4, 1-11, Αθήνα.
- RIGGS, S.R. (1987). Model of tertiary phosphorites on the world's continental margin. - In TELEKI P. et al. (eds.) Marine Minerals, Dordrecht, 99-118.
- SHELDON, R.P. (1987). Association of phosphatic and siliceous marine sedimentary deposits, In J.R. HEIN (ed.), Siliceous sedimentary rock - hosted ores and petroleum, Van Nostrand Reinhold, New York, 58-80.
- ΣΚΟΥΝΑΚΗΣ, Σ. (1978). Συμβολή εις την μελέτην των συνθηκών γενέσεως των κοιτασμάτων φωσφόρου της δυτικής Ελλάδος. Φωσφορούχοι ασβεστόλιθοι της νήσου Κεφαλληνίας. Πρακτ. Ακαδ. Αθηνών, 52, 384-395.
- ΣΚΟΥΝΑΚΗΣ, Σ. (1979). Συμβολή εις την μελέτην των θηκών γενέσεως των κοιτασμάτων φωσφόρου της δυτικής Ελλάδος.- Διατρ. επί Υφηγεσία, Αθήνα, 143.
- STAMATAKIS, M.G. and VLACHOU-TSIPOURA, M. (1990). Diatomaceous rocks in Greece.- In IMM (ed.) Minerals, Materials and Industry, 14th IMM congress, Edinburgh, 185-192.
- STAMATAKIS, M.G., ELIZAGA, E., DERMITZAKIS, M., CALVO, J.P. (1991). Pliocene diatomaceous rocks from north Iraklion province, Crete Island, Greece.- With International Flint Symposium, Book of abstracts, Madrid, October 1991, 1, 100 - 102.
- VON RAD, U., and KUDRASS, H. (1984). Phosphorite deposits on the Chatham Rise, New Zealand. - Geol. Jahrb., D.65.